•腹部影像学 •

直肠管状绒毛状腺瘤的 3.0T MRI 特征

王余,徐晋珩,马梦华,王海平,张志勇,常利名,董甜甜

【摘要】目的:探讨直肠管状绒毛状腺瘤的 MRI 表现特征,以提高其诊断准确率。方法:回顾性分析经手术病理证实的 15 例直肠管状绒毛状腺瘤的磁共振表现。结果:15 例直肠管状绒毛状腺瘤均为单发,其中 10 例为宽基,向腔内绒毛状或菜花状生长;3 例为窄基,向腔内结节状生长;2 例为环形肠壁增厚。13 例肿瘤瘤体信号较均匀,2 例不均匀;15 例肿瘤基底部信号均不均匀。肿瘤与对侧肠壁相贴时留有通气间隙 8 例。13 例肿瘤表面覆盖有一层粘液。DWI 上 12 例呈稍高信号,3 例呈高信号。增强扫描 15 例肿瘤均呈层状强化。结论:直肠管状绒毛状腺瘤的磁共振表现具有一定的特征性。

【关键词】 直肠肿瘤;磁共振成像;腺瘤,绒毛状

【中图分类号】R445.2; R735.37 【文献标识码】A 【文章编号】1000-0313(2017)03-0279-04

DOI:10.13609/j. cnki. 1000-0313. 2017. 03. 016

3.0**T MRI features of rectal tubulovillous adenoma** WANG Yu, XU Jin-heng, MA Meng-hua, et al. Department of MRI, Tangshan Gongren Hospital, Tangshan, Hebei 063000, China

[Abstract] Objective: To investigate the MRI features of rectal tubulovillous adenoma and in hope to improve its diagnostic accuracy. Methods: MR imaging manifestations of 15 cases with rectal tubulovillous adenoma confirmed by surgery and pathology were analyzed retrospectively. Results: All 15 cases were solitary. 10 out of 15 tumors grew with wide base, presenting like villus or a cauliflower toward the rectal cavity. 3 tumors grew nodularly with narrow base grew nodularly arising from the side of the rectal wall. 2 cases appeared as ring-like thickening of the whole wall. The tumor body showed as uniform signal intensity in 13 cases, while heterogeneous in 2 cases. The basilar part of all 15 cases showed uneven signal intensity. There was a venting gap between the tumor and the opposite side in 8 cases. The tumor surface of 13 cases covered with a layer of mucus. 12 cases showed slight high signal and 3 cases showed high signal intensity on DWI. Layered enhancement was seen in 15 cases. Conclusion: MRI manifestations of rectal tubulovillous adenoma have certain characteristics.

[Key words] Rectal neoplasms; Magnetic resonance imaging; Adenoma, villous

直肠腺瘤为直肠癌重要的癌前病变已被证实,早期切除可大大减少直肠癌的发生[1];组织学上腺瘤分为传统腺瘤(包括管状腺瘤、管状绒毛状腺瘤、绒毛状腺瘤)和无蒂锯齿状息肉,腺瘤癌变有两种途径:"腺瘤-腺癌途径"及"锯齿状途径"[2]。含25%~75%绒毛成分的腺瘤为管状绒毛状腺瘤。有关直肠管状绒毛状腺瘤的 MRI 研究较少,本文对经手术病理证实的15例直肠管状绒毛状腺瘤的临床资料及 MRI 表现进行回顾性分析,探讨其 MRI 特征,提高对该肿瘤的诊断水平,为早期切除方式的选择提供更可靠的依据。

材料与方法

1. 一般资料

搜集经手术病理证实的未发生癌变的直肠管状绒毛状腺瘤共 15 例。15 例患者中男 11 例,女 4 例,年龄 32~81 岁,平均 57 岁;临床表现有腹痛、腹泻、便

作者单位:063000 河北,唐山市工人医院磁共振室(王余、马梦华、王海平、董甜甜),病理科(徐晋珩,张志勇),放射科(常利名) 作者简介:王余(1977一),男,河北唐山人,副主任医师,硕士,主要 从事磁共振诊断工作。 秘、便血、排便习惯改变等;临床化验检查均未见 CEA 增高。

2. 检查方法

采用 3.0T Philips Achieva 超导型 MRI 系统,所 有患者均行常规 T₂WI、T₁WI 平扫、DWI (diffusion weighted imaging, DWI)及增强扫描,具体扫描技术 和参数如下:①常规 MRI 平扫:包括多次激发快速自 旋回波序列(TSE)T₂WI 横轴面扫描:TR 2000~ 5000 ms, TE 110 ms, 视野 180 mm×180 mm, 体素 0.8 mm×0.9 mm, 层厚 4 mm, 层间距 0.5 mm, 回波 链长度 17,翻转角 90°,信号采集数 2,层数 24;多次激 发快速自旋回波序列(TSE)T₁WI 横轴面扫描:TR 400~600 ms, TE 8 ms, 视野 180 mm×180 mm, 体素 0.8 mm×0.9 mm, 层厚 4 mm, 层间距 0.5 mm, 回波 链长度 4, 翻转角 90°, 信号采集数 3, 层数 24。② DWI:采用自由呼吸单次激发 SE-EPI 序列轴位扫描: b值选择 1200 s/mm², TR 2000~2500 ms, TE 选择 shortest,视野 261 mm×180 mm,体素 2.25 mm× 2.25 mm, 层厚4 mm, 层间距0.5 mm, 半采集因子

0.627,回波链长度 49,翻转角 90° ,信号采集数 4,层数 24,压脂方式为频谱空间预置饱和翻转回复(spectral presaturation with inversion recovery, SPIR)。③增强扫描:多次激发快速自旋回波序列(TSE) T_1 WI 轴位、矢状面及冠状面扫描:TR $400\sim600$ ms,TE 8 ms,视野 180 mm $\times180$ mm,体素 0.8 mm $\times0.9$ mm,层厚 4 mm,层间距 0.5 mm,回波链长度 4,翻转角 90° ,信号采集数 3,层数 24。对比剂为钆-喷酸葡胺(Gd-DT-PA),剂量 0.1 mmol/kg。

3. 图像分析

所有 MR 图像分别由 2 位有 10 年以上腹部 MRI 诊断经验的影像科医师进行观察和分析,意见不一致时经协商达成一致。各种序列均以同一层面正常肌肉组织的信号为等信号。

结 果

MRI 表现:15 例直肠管状绒毛状腺瘤均为单发,其中 10 例为宽基底,向腔内绒毛状或菜花状生长;3 例为窄基底,向腔内结节状生长;2 例为环形肠壁增厚。肿瘤最大径 $2.1\sim5.6$ cm。13 例肿瘤瘤体信号较均匀,呈 T_2 WI 稍高 T_1 WI 等或稍高信号,2 例肿瘤瘤体信号不均匀,瘤体内部见 T_2 WI 高 T_1 稍低信号;15 例肿瘤基底部信号均不均匀,呈 T_2 WI 及 T_1 WI 高低混杂信号;肿瘤与对侧肠壁相贴时留有通气间隙 8 例;13 例肿瘤表面覆盖有一层粘液,呈 T_2 WI 高 T_1 WI 稍

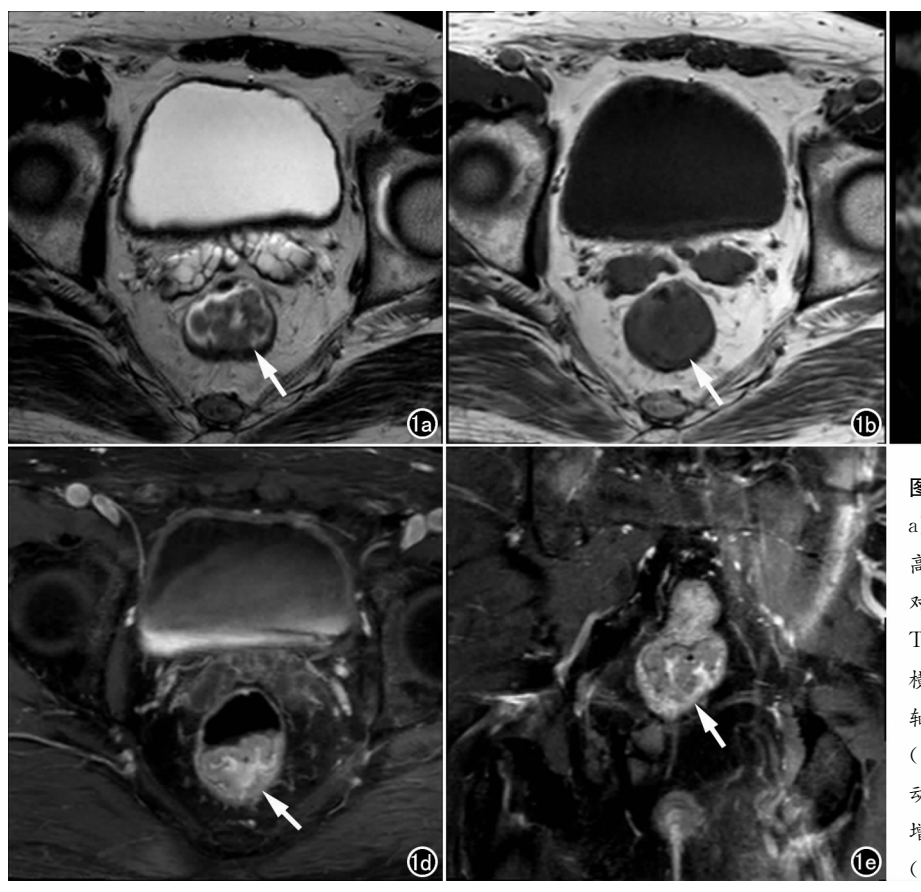
高或等信号(图 1a、1b、2a、2b)。 DWI 上 12 例呈稍高信号,3 例呈高信号(图 1c、2c)。增强扫描 15 例肿瘤均呈层状强化,内层为肿瘤基底部强化最明显,中层为瘤体的大部分强化程度较低、信号均匀或不均匀,外层为瘤体表层强化程度介于内、中层之间(图 1d、1e、2d、2e)。

本组 15 例直肠管状绒毛状腺瘤均被病理证实,12 例伴有不同程度的异型增生,均未发现癌变。

讨论

直肠管状绒毛状腺瘤发生于直肠粘膜上皮,也称为混合性腺瘤,包含腺管状结构及绒毛状结构,两者比例在4:1和1:4之间,表面呈绒毛状,常覆盖有粘液,可出现假癌性浸润,即良性形态的腺体成分出现在粘膜下层,甚至肌层和浆膜下^[3]。管状绒毛状腺瘤具有高危险性,肿瘤越大,绒毛状结构越多,其癌变的可能性越大,恶变率为30%~40%,可通过腺瘤-腺癌序列发展为浸润性癌^[4]。病理上,直肠腺瘤通常由三层结构构成:基底部为供养小脉管及纤维基质、内部为增生的腺体、最外层为腺体表面的柱状上皮^[5]。MRI具有极高的软组织分辨力,能清楚显示直肠肠壁的粘膜层、粘膜下层及固有肌层,能显示直肠病变的特征及肠腔内外的情况,在直肠疾病诊断中的应用日益广泛。

1. 直肠管状绒毛状腺瘤的 MRI 表现及与病理的 关系



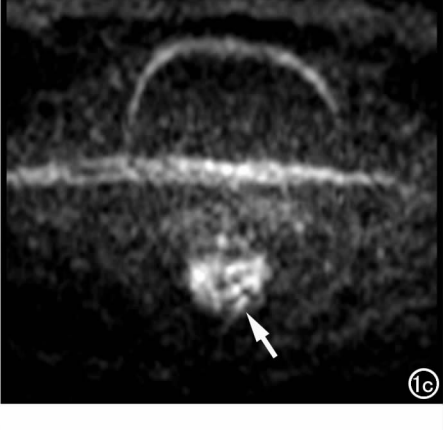


图1 男,53岁,直肠管状绒毛状腺瘤。 a)横轴面 T₂WI 示肿瘤瘤体呈绒毛状稍高信号(箭),基底部呈高低混杂信号,与对侧肠壁间有通气间隙;b)横轴面 T₁WI 示肿瘤呈等或稍高信号(箭);c)横轴面 DWI 肿瘤呈高信号(箭);d)横轴面增强扫描示肿瘤呈典型的层状强化(箭),基底部强化最明显,由于肠管蠕动,其前方通气间隙更明显;e)冠状面增强扫描示肿瘤呈典型的层状强化(箭)。

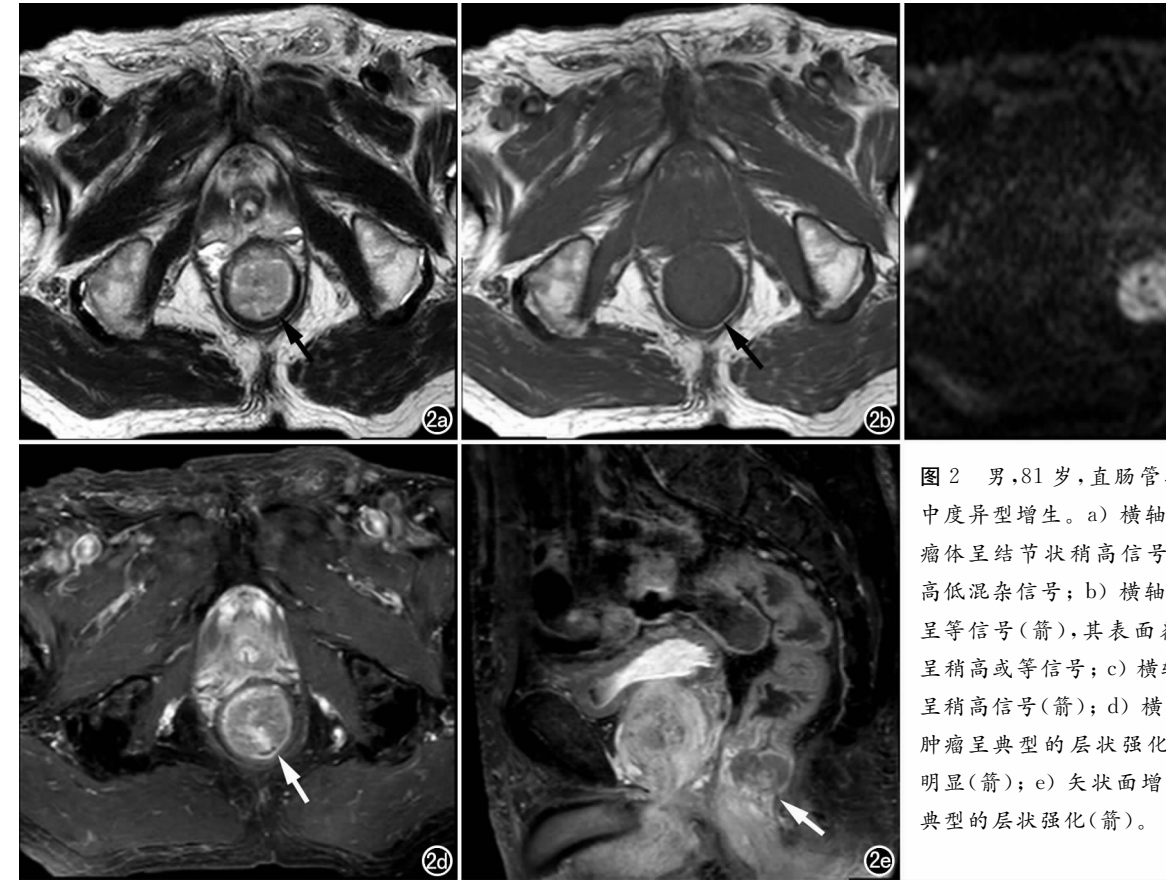


图 2 男,81岁,直肠管状绒毛状腺瘤伴 中度异型增生。a) 横轴面 ToWI 示肿瘤 瘤体呈结节状稍高信号(箭),基底部呈 高低混杂信号;b) 横轴面 T₁WI 示肿瘤 呈等信号(箭),其表面覆盖有一层粘液 呈稍高或等信号; c) 横轴面 DWI 示肿瘤 呈稍高信号(箭); d) 横轴面增强扫描示 肿瘤呈典型的层状强化,基底部强化最 明显(箭); e) 矢状面增强扫描示肿瘤呈

形状及大小:肿瘤大多形态不规则,表面不规整, 有不同程度的分叶,呈绒毛状、菜花状,这与肿瘤含绒 毛状结构有关。肿瘤多局限于粘膜层,以宽基底与肠 壁相连,向腔内匍匐式生长,肿瘤与对侧肠壁相贴时留 有通气间隙,为直肠管状绒毛状腺瘤较为特征性表现, 鲁果果等[6]的研究也发现此特征。直肠管状绒毛状腺 瘤体积通常较大[7],本组肿瘤最大径均>2 cm。

信号特征:肿瘤瘤体信号较均匀,呈 ToWI 稍高 T₁WI等或稍高信号,因其大部分为增生的腺体所构 成,而瘤体表面的柱状上皮常规 MRI 平扫序列无法区 分显示;肿瘤基底部信号不均匀,主要由供养小脉管及 纤维基质组成。本组病例中有2例肿瘤瘤体内部信号 不均匀,出现 T₂WI 高 T₁WI 稍低信号,可能与肿瘤局 部液化坏死或粘液湖形成有关。由于腺上皮能分泌粘 液,肿瘤表面常覆盖一层粘液。本组病例中呈 DWI 稍 高信号 12 例、高信号 3 例。DWI 能检测人体组织中 水分子扩散运动受限的程度,间接反映组织微观结构。 直肠管状绒毛状腺瘤中的水分子扩散受限程度与邻近 正常组织存在差异,致使 DWI 能有效检出直肠管状绒 毛状腺瘤,并能显示其病变范围。

强化特点:本组病例中肿瘤无论绒毛状、菜花状、 结节状还是环形肠壁增厚,均观察到层状强化,充分反 映了直肠管状绒毛状腺瘤的组织病理学基础,共分为 三层:内层为基底部的供养小脉管及纤维间质,增强信 号强度最高;中层为增生的腺体,增强信号强度较低、 信号均匀或不均匀;外层为腺体表面的柱状上皮,增强 信号强度介于内、中层之间。与陈菲菲等[5]报道一致: 直肠管状绒毛状腺瘤的强化方式较具特征性,呈"三环 样"强化,在鉴别腺瘤癌变时需重视延时强化(至少 2 min)。本研究采用的是常规增强扫描,增强后第一次 图像采集结束距注射钊-喷酸葡胺已有约 3 min,此时 直肠管状绒毛状腺瘤基底部向中心延伸的纤维间质延 迟强化,信号强度最高。

2. 鉴别诊断

直肠管状绒毛状腺瘤需与腺瘤癌变鉴别,以下特 征常能提示腺瘤恶变:①肿瘤较大,不规则肠壁的增 厚,绒毛较多、较长、部分融合,绒毛与肠壁间的通气间 隙消失或不连续。潘冬梅等[7]也认为最大径>3 cm、 匍匐型的直肠腺瘤更容易癌变。②典型的分层强化模 式的改变或消失。腺瘤性息肉癌变多为煎蛋样或铺路 石样强化,有别干腺瘤样息肉强化模式[5]。③肿瘤局 部突破浆膜层。④肿瘤周围可见迂曲血管影。动脉期 肿瘤血管的显示及肿瘤血管的异质性可作为判断结直 肠管状绒毛状腺瘤恶变的指标[8]。具有典型影像学特 征的腺瘤与直肠癌鉴别并不难,但有时腺瘤具有直肠 癌的影像学特点,则不易区分,需要结合肠镜正确取材 活检。鲁果果等[6]认为直肠管状绒毛状腺瘤是由正常 直肠腺上皮细胞增生形成,细胞外水分子扩散受限不

明显,DWI上多呈稍高信号,而直肠癌是肿瘤细胞增生导致细胞密度增加,细胞外水分子扩散明显受限,DWI上呈明显高信号。笔者认为单纯从肉眼观察DWI信号强度尚无法区分直肠管状绒毛状腺瘤与腺癌,二者之间的ADC值有无差异有待进一步研究。仅通过MRI无法区分直肠管状绒毛状腺瘤与T1~T2期的直肠癌^[9],Kaur等^[10]也认为MRI不足以区分直肠腺瘤与腺癌,这可能因为直肠腺瘤可出现假癌性浸润,或者直肠壁发生病变后结构层次显示不清,MRI并不能确定粘膜下层和肌层是否真被浸润。

3. 本研究的局限性

本研究中增强扫描未采用动态增强扫描,未能了解到直肠管状绒毛状腺瘤动脉期强化的信息;而且病例数较少,有待增加样本量进一步研究。

综上所述,直肠管状绒毛状腺瘤的 MRI 典型表现为宽基底的绒毛状匍匐生长;肿瘤瘤体信号较均匀,呈 T_2 WI 稍高 T_1 WI 等或稍高信号,基底部信号常不均匀,呈 T_2 WI 及 T_1 WI 高低混杂信号;肿瘤 DWI 上呈略高或高信号;肿瘤与对侧肠壁间常存在通气间隙;具有典型的层状强化。直肠管状绒毛状腺瘤表现典型时较容易诊断,不典型时难以与直肠癌鉴别。 MRI 各序列的联合应用可对直肠管状绒毛状腺瘤的形态、大小、范围作出准确的判断,为其早期诊断、早期治疗提供有价值的信息。

参考文献:

- [1] Brenner H, Chang-Claude J, Rickert A, et al. Risk of colorectal cancer after detection and removal of adenomas at colonoscopy: population-based case-control study[J]. J Clin Oncol, 2012, 30 (24),2969-2976.
- [2] Strum WB. Colorectal adenomas [J]. N Engl J Med, 2016, 374 (11):1065-1075.
- [3] 王强修,王新美,王启志,等.消化道肿瘤诊断病理学[M].上海: 第二军医大学出版社,2013:110-111.
- [4] Coleman HG, Loughrey MB, Murray LJ, et al. Colorectal cancer risk following adenoma removal; a large prospective population-based cohort study[J]. Cancer Epidemiol Biomarkers Prev, 2015, 24(9):1373-1380.
- [5] 陈菲菲,梁文,李余发,等. 直肠腺瘤性息肉癌变的 MR 多方位增强扫描表现[J]. 临床放射学杂志,2016,35(2):224-227.
- [6] 鲁果果,高雪梅,程敬亮. 直肠绒毛管状腺瘤的 MRI 诊断[J]. 实用放射学杂志,2014,30(3):459-462.
- [7] 潘冬梅,范国华,张维,等.64 排螺旋 CT 在大肠腺瘤分型及癌变中的诊断价值[7].中国医学影像学杂志,2015,23(5):364-368.
- [8] 李洪,马春,李汝辉,等.64 层螺旋 CT 显示肿瘤血管征与结直肠管状-绒毛状腺瘤恶变关系的研究[J].华西医学,2015,30(2):295-299.
- [9] (德)沙佛. 直肠癌·临床·病理·MRI 图谱[M]. 汪建平,译. 北京:人民卫生出版社,2012:44.
- [10] Kaur H, Choi H, You YN, et al. MR imaging for preoperative e-valuation of primary rectal cancer; practical considerations[J]. Radiographics, 2012, 32(2): 389-409.

(收稿日期:2016-09-06)

《请您诊断》栏目征文启事

《请您诊断》是本刊 2007 年新开辟的栏目,该栏目以临床上少见或容易误诊的病例为素材,杂志在刊载答案的同时配发专家点评,以帮助影像医生更好地理解相关影像知识,提高诊断水平。栏目开办 8 年来受到广大读者欢迎。《请您诊断》栏目荣获第八届湖北精品医学期刊"特色栏目奖"。

本栏目欢迎广大读者踊跃投稿,并积极参与《请您诊断》有奖活动,稿件一经采用稿酬从优。

《请您诊断》来稿格式要求:①来稿分两部分刊出,第一部分为病例资料和图片;第二部分为全文,即病例完整资料(包括病例资料、影像学表现、图片及详细图片说明、讨论等);②来稿应提供详细的病例资料,包括病史、体检资料、影像学检查及实验室检查资料;③来稿应提供具有典型性、代表性的图片,包括横向图片(X线、CT或 MRI等不同检查方法得到的影像资料,或某一检查方法的详细图片,如 CT 平扫和增强扫描图片)和纵向图片(同一患者在治疗前后的动态影像资料,最好附上病理图片),每帧图片均需详细的图片说明,包括扫描参数、序列、征象等,病变部位请用箭头标明。

具体格式要求请参见本刊(一个完整病例的第一部分请参见本刊正文首页,第二部分请参见2个月后的杂志最后一页,如第一部分问题在1期杂志正文首页,第二部分答案则在3期杂志正文末页)

栏目主持:石鹤 联系电话:027-83662875 15926283035